

РЕКОМЕНДАЦИЯ МСЭ-R P.838-3

**Модель погонного ослабления в дожде, используемая
в методах прогнозирования**

(Вопрос МСЭ-R 201/3)

(1992-1999-2003-2005)

Ассамблея радиосвязи МСЭ,

учитывая

- а) необходимость расчета ослабления сигнала в дожде по данным об интенсивности дождя,
рекомендует,

1 чтобы при расчете ослабления использовалась следующая процедура.

Соотношение между погонным ослаблением, γ_R (дБ/км), и интенсивностью дождя, R (мм/ч), описывается степенным законом:

$$\gamma_R = kR^\alpha \quad (1)$$

Значения коэффициентов k и α определяются в функции частоты f (ГГц) в диапазоне от 1 до 1000 ГГц из следующих уравнений, которые были составлены исходя из аппроксимации кривой по коэффициентам степенной зависимости, полученным из вычислений рассеяния:

$$\log_{10} k = \sum_{j=1}^4 \left(a_j \exp \left[- \left(\frac{\log_{10} f - b_j}{c_j} \right)^2 \right] \right) + m_k \log_{10} f + c_k \quad (2)$$

$$\alpha = \sum_{j=1}^5 \left(a_j \exp \left[- \left(\frac{\log_{10} f - b_j}{c_j} \right)^2 \right] \right) + m_\alpha \log_{10} f + c_\alpha, \quad (3)$$

где:

 f : частота (ГГц) k : k_H или k_V α : α_H или α_V .

Значения констант для коэффициента k_H в случае горизонтальной поляризации приведены в таблице 1, а для коэффициента k_V в случае вертикальной поляризации – в таблице 2. В таблице 3 приведены значения констант для коэффициента α_H в случае горизонтальной поляризации, а в таблице 3 – значения констант для коэффициента α_V в случае вертикальной поляризации.

ТАБЛИЦА 1

Коэффициенты для k_H

j	a_j	b_j	c_j	m_k	c_k
1	-5,33980	-0,10008	1,13098	-0,18961	0,71147
2	-0,35351	1,26970	0,45400		
3	-0,23789	0,86036	0,15354		
4	-0,94158	0,64552	0,16817		

ТАБЛИЦА 2

Коэффициенты для k_V

j	a_j	b_j	c_j	m_k	c_k
1	-3,80595	0,56934	0,81061	-0,16398	0,63297
2	-3,44965	-0,22911	0,51059		
3	-0,39902	0,73042	0,11899		
4	0,50167	1,07319	0,27195		

ТАБЛИЦА 3

Коэффициенты для α_H

j	a_j	b_j	c_j	m_α	c_α
1	-0,14318	1,82442	-0,55187	0,67849	-1,95537
2	0,29591	0,77564	0,19822		
3	0,32177	0,63773	0,13164		
4	-5,37610	-0,96230	1,47828		
5	16,1721	-3,29980	3,43990		

ТАБЛИЦА 4

Коэффициенты для α_V

j	a_j	b_j	c_j	m_α	c_α
1	-0,07771	2,33840	-0,76284	-0,053739	0,83433
2	0,56727	0,95545	0,54039		
3	-0,20238	1,14520	0,26809		
4	-48,2991	0,791669	0,116226		
5	48,5833	0,791459	0,116479		

В случае линейной и круговой поляризации для любой геометрии трассы коэффициенты в уравнении (1) можно вычислить по значениям, заданным уравнениями (2) и (3), с помощью следующих уравнений:

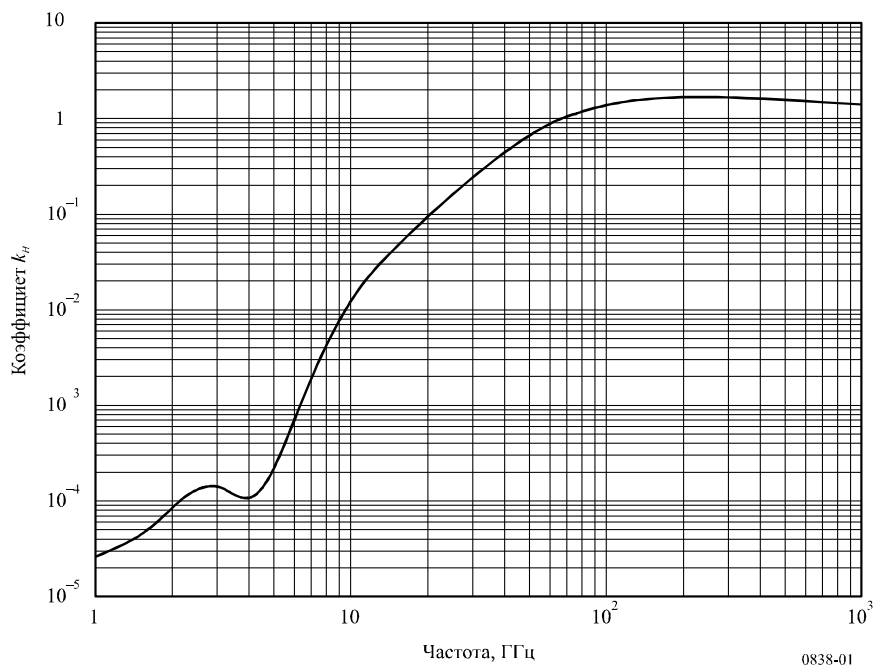
$$k = [k_H + k_V + (k_H - k_V) \cos^2 \theta \cos 2 \tau] / 2 \quad (4)$$

$$\alpha = [k_H \alpha_H + k_V \alpha_V + (k_H \alpha_H - k_V \alpha_V) \cos^2 \theta \cos 2 \tau] / 2k, \quad (5)$$

где θ – угол места трассы, а τ – угол наклона оси поляризации по отношению к горизонтали (для круговой поляризации $\tau = 45^\circ$).

Для получения быстрой справки коэффициенты k и α показаны графически на рисунках 1–4, а в таблице 5 приведены числовые значения для этих коэффициентов на данных частотах.

РИСУНОК 1

Коэффициент k для горизонтальной поляризации

0838-01

РИСУНОК 2

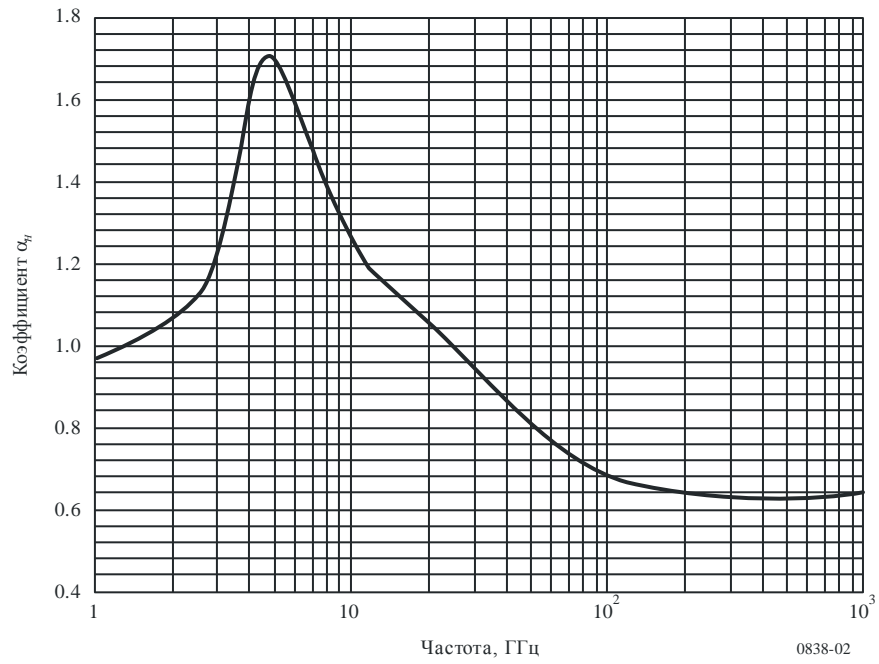
Коэффициент α для горизонтальной поляризации

РИСУНОК 3

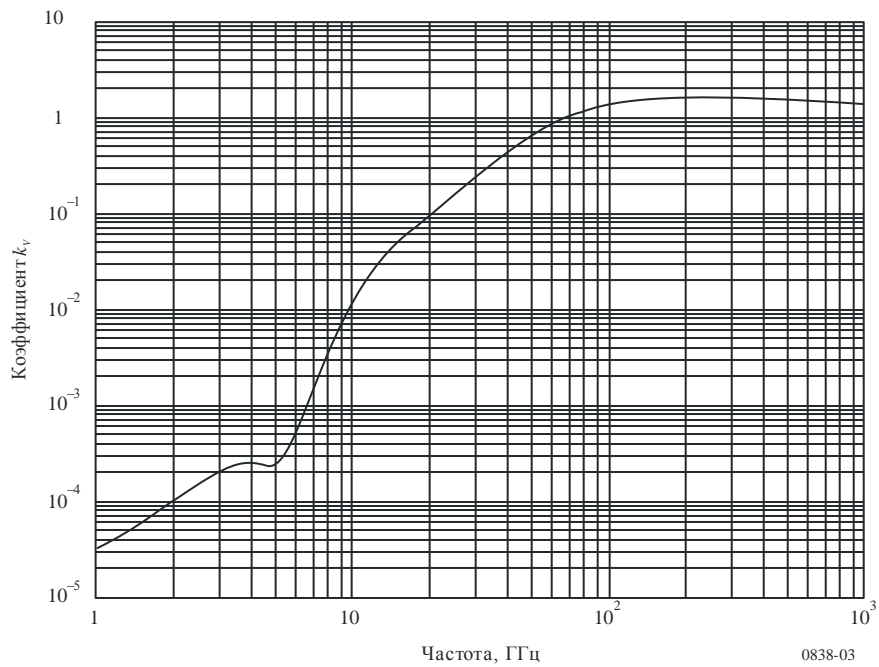
Коэффициент k для вертикальной поляризации

РИСУНОК 4

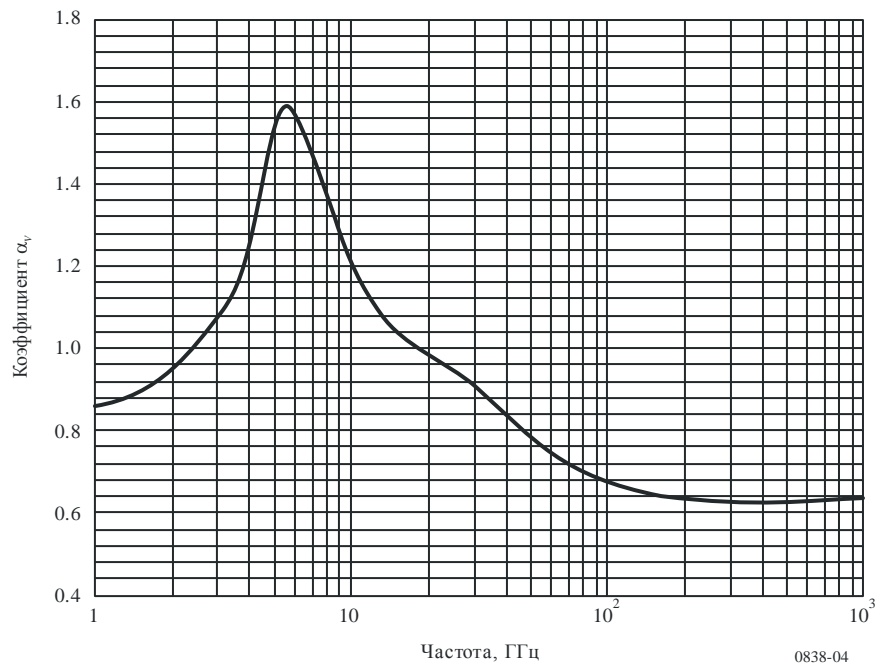
Коэффициент α для вертикальной поляризации

ТАБЛИЦА 5

Зависящие от частоты коэффициенты для оценки погонного ослабления
в дожде с использованием уравнений (4), (5) и (1)

Частота, ГГц	k_H	α_H	k_V	α_V
1	0,0000259	0,9691	0,0000308	0,8592
1,5	0,0000443	1,0185	0,0000574	0,8957
2	0,0000847	1,0664	0,0000998	0,9490
2,5	0,0001321	1,1209	0,0001464	1,0085
3	0,0001390	1,2322	0,0001942	1,0688
3,5	0,0001155	1,4189	0,0002346	1,1387
4	0,0001071	1,6009	0,0002461	1,2476
4,5	0,0001340	1,6948	0,0002347	1,3987
5	0,0002162	1,6969	0,0002428	1,5317
5,5	0,0003909	1,6499	0,0003115	1,5882
6	0,0007056	1,5900	0,0004878	1,5728
7	0,001915	1,4810	0,001425	1,4745
8	0,004115	1,3905	0,003450	1,3797
9	0,007535	1,3155	0,006691	1,2895
10	0,01217	1,2571	0,01129	1,2156
11	0,01772	1,2140	0,01731	1,1617
12	0,02386	1,1825	0,02455	1,1216
13	0,03041	1,1586	0,03266	1,0901
14	0,03738	1,1396	0,04126	1,0646
15	0,04481	1,1233	0,05008	1,0440
16	0,05282	1,1086	0,05899	1,0273
17	0,06146	1,0949	0,06797	1,0137
18	0,07078	1,0818	0,07708	1,0025
19	0,08084	1,0691	0,08642	0,9930
20	0,09164	1,0568	0,09611	0,9847
21	0,1032	1,0447	0,1063	0,9771
22	0,1155	1,0329	0,1170	0,9700
23	0,1286	1,0214	0,1284	0,9630
24	0,1425	1,0101	0,1404	0,9561
25	0,1571	0,9991	0,1533	0,9491
26	0,1724	0,9884	0,1669	0,9421
27	0,1884	0,9780	0,1813	0,9349
28	0,2051	0,9679	0,1964	0,9277
29	0,2224	0,9580	0,2124	0,9203

ТАБЛИЦА 5

**Зависящие от частоты коэффициенты для оценки погонного ослабления
в дожде с использованием уравнений (4), (5) и (1)**

Частота, ГГц	k_H	α_H	k_V	α_V
30	0,2403	0,9485	0,2291	0,9129
31	0,2588	0,9392	0,2465	0,9055
32	0,2778	0,9302	0,2646	0,8981
33	0,2972	0,9214	0,2833	0,8907
34	0,3171	0,9129	0,3026	0,8834
35	0,3374	0,9047	0,3224	0,8761
36	0,3580	0,8967	0,3427	0,8690
37	0,3789	0,8890	0,3633	0,8621
38	0,4001	0,8816	0,3844	0,8552
39	0,4215	0,8743	0,4058	0,8486
40	0,4431	0,8673	0,4274	0,8421
41	0,4647	0,8605	0,4492	0,8357
42	0,4865	0,8539	0,4712	0,8296
43	0,5084	0,8476	0,4932	0,8236
44	0,5302	0,8414	0,5153	0,8179
45	0,5521	0,8355	0,5375	0,8123
46	0,5738	0,8297	0,5596	0,8069
47	0,5956	0,8241	0,5817	0,8017
48	0,6172	0,8187	0,6037	0,7967
49	0,6386	0,8134	0,6255	0,7918
50	0,6600	0,8084	0,6472	0,7871
51	0,6811	0,8034	0,6687	0,7826
52	0,7020	0,7987	0,6901	0,7783
53	0,7228	0,7941	0,7112	0,7741
54	0,7433	0,7896	0,7321	0,7700
55	0,7635	0,7853	0,7527	0,7661
56	0,7835	0,7811	0,7730	0,7623
57	0,8032	0,7771	0,7931	0,7587
58	0,8226	0,7731	0,8129	0,7552
59	0,8418	0,7693	0,8324	0,7518
60	0,8606	0,7656	0,8515	0,7486
61	0,8791	0,7621	0,8704	0,7454
62	0,8974	0,7586	0,8889	0,7424
63	0,9153	0,7552	0,9071	0,7395
64	0,9328	0,7520	0,9250	0,7366
65	0,9501	0,7488	0,9425	0,7339

ТАБЛИЦА 5

**Зависящие от частоты коэффициенты для оценки погонного ослабления
в дожде с использованием уравнений (4), (5) и (1)**

Частота, ГГц	k_H	α_H	k_V	α_V
66	0,9670	0,7458	0,9598	0,7313
67	0,9836	0,7428	0,9767	0,7287
68	0,9999	0,7400	0,9932	0,7262
69	1,0159	0,7372	1,0094	0,7238
70	1,0315	0,7345	1,0253	0,7215
71	1,0468	0,7318	1,0409	0,7193
72	1,0618	0,7293	1,0561	0,7171
73	1,0764	0,7268	1,0711	0,7150
74	1,0908	0,7244	1,0857	0,7130
75	1,1048	0,7221	1,1000	0,7110
76	1,1185	0,7199	1,1139	0,7091
77	1,1320	0,7177	1,1276	0,7073
78	1,1451	0,7156	1,1410	0,7055
79	1,1579	0,7135	1,1541	0,7038
80	1,1704	0,7115	1,1668	0,7021
81	1,1827	0,7096	1,1793	0,7004
82	1,1946	0,7077	1,1915	0,6988
83	1,2063	0,7058	1,2034	0,6973
84	1,2177	0,7040	1,2151	0,6958
85	1,2289	0,7023	1,2265	0,6943
86	1,2398	0,7006	1,2376	0,6929
87	1,2504	0,6990	1,2484	0,6915
88	1,2607	0,6974	1,2590	0,6902
89	1,2708	0,6959	1,2694	0,6889
90	1,2807	0,6944	1,2795	0,6876
91	1,2903	0,6929	1,2893	0,6864
92	1,2997	0,6915	1,2989	0,6852
93	1,3089	0,6901	1,3083	0,6840
94	1,3179	0,6888	1,3175	0,6828
95	1,3266	0,6875	1,3265	0,6817
96	1,3351	0,6862	1,3352	0,6806
97	1,3434	0,6850	1,3437	0,6796
98	1,3515	0,6838	1,3520	0,6785
99	1,3594	0,6826	1,3601	0,6775
100	1,3671	0,6815	1,3680	0,6765
120	1,4866	0,6640	1,4911	0,6609

ТАБЛИЦА 5

Зависящие от частоты коэффициенты для оценки погонного ослабления
в дожде с использованием уравнений (4), (5) и (1)

Частота, ГГц	k_H	α_H	k_V	α_V
150	1,5823	0,6494	1,5896	0,6466
200	1,6378	0,6382	1,6443	0,6343
300	1,6286	0,6296	1,6286	0,6262
400	1,5860	0,6262	1,5820	0,6256
500	1,5418	0,6253	1,5366	0,6272
600	1,5013	0,6262	1,4967	0,6293
700	1,4654	0,6284	1,4622	0,6315
800	1,4335	0,6315	1,4321	0,6334
900	1,4050	0,6353	1,4056	0,6351
1 000	1,3795	0,6396	1,3822	0,6365
